

УДК 536.24

## ВЛИЯНИЕ ПРОНИЦАЕМОСТИ ПОРИСТОЙ ОБОЛОЧКИ НА ТОЛЩИНУ ПАРОВОЙ ПЛЕНКИ ПРИ КИПЕНИИ СВЕРХТЕКУЧЕГО ГЕЛИЯ В УСЛОВИЯХ НЕВЕСОМОСТИ

П. В. Королев, А. П. Крюков, Ю. Ю. Пузина

Национальный исследовательский университет "МЭИ", 111250 Москва, Россия  
E-mails: Korolyov2007@yandex.ru, KryukovAP@mail.ru, Puzina2006@inbox.ru

Теоретически исследовано кипение сверхтекучего гелия на цилиндрическом нагревателе, расположенном внутри коаксиальной пористой оболочки, в условиях невесомости. С использованием методов молекулярно-кинетической теории проведен расчет стационарных процессов переноса на межфазной поверхности. Путем решения кинетического уравнения Больцмана моментным методом на основе четырехмоментного приближения в виде двустороннего максвеллиана получено соотношение, с помощью которого рассчитывается плотность теплового потока при пленочном кипении на цилиндрической нагревающей поверхности в случае, когда толщина пленки сопоставима с диаметром нагревателя. Движение нормального компонента сверхтекучей жидкости в порах описывается уравнениями, учитывающими особенности тепломассопереноса в сверхтекучем гелии. Получено соотношение, связывающее толщину паровой пленки со структурными характеристиками и геометрическими размерами пористой оболочки. Проведен анализ результатов расчетов.

Ключевые слова: гелий-II, тепломассоперенос, пленочное кипение, невесомость, пористая структура.

DOI: 10.15372/PMTF20150412

**Введение.** Для совершенствования методов охлаждения и криостатирования в технологических линиях промышленных объектов, а также в аэрокосмических технологиях необходимо проводить экспериментальные и теоретические исследования в области сверхнизких температур. В настоящей работе изучается пленочное кипение гелия-II (He-II) в условиях невесомости. При этом возникает проблема удержания жидкости в рабочем объеме, в отличие от условий полной земной гравитации, когда увеличение толщины паровой пленки ограничивается за счет гидростатической разности давлений в жидкости. Поэтому предлагается использовать пористую цилиндрическую проницаемую для потоков тепла и массы оболочку, внутри которой за счет действия сил вязкого трения создается давление, избыточное по отношению к внешнему давлению [1]. Ранее рассматривался вариант с использованием пористой оболочки из тканых металлических сеток [2]. При этом анализ процессов тепломассопереноса позволил выявить некоторые особенности, обусловленные наличием течения квантовой жидкости через пористый слой [3].

Работа выполнена при финансовой поддержке Российского фонда фундаментальных исследований (коды проектов 14-08-00980, 13-08-00673-а).

© Королев П. В., Крюков А. П., Пузина Ю. Ю., 2015

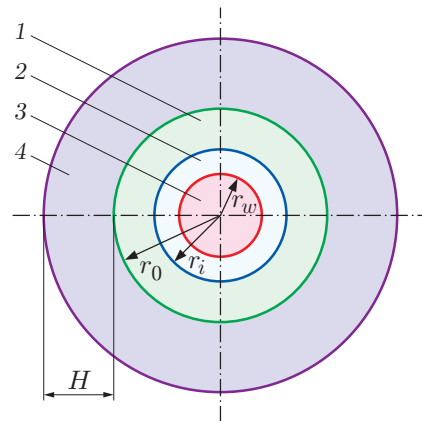


Рис. 1. Физическая модель:

1 — сверхтекучий гелий, 2 — паровая пленка, 3 — нагреватель, 4 — пористое тело

В данной работе проводится расчет стационарного радиуса паровой пленки в зависимости от структурных и геометрических характеристик пористого тела. Используя эти зависимости, можно выбрать материал оболочки для получения необходимого радиуса паровой пленки, что позволит упростить проектирование экспериментальной ячейки для исследования кипения гелия-II в условиях невесомости [2].

При исследовании пленочного кипения сверхтекучего гелия для описания процессов, происходящих в паре и на межфазной поверхности, необходимо применять методы молекулярно-кинетической теории газов, т. е. решать кинетическое уравнение Больцмана. Существуют линейное [4] и нелинейное [5] соотношения для определения плотности теплового потока при пленочном кипении в случае плоской геометрии задачи, полученные моментным методом решения кинетического уравнения Больцмана. Однако для расчета плотности теплового потока в случае кипения на цилиндрической нагревающей поверхности при толщине пленки, сопоставимой с диаметром нагревательного элемента, необходимо использовать кинетическое соотношение, полученное для задачи в случае цилиндрической геометрии. Эта формула выводится при решении кинетического уравнения Больцмана моментным методом на основе четырехмоментного приближения в виде двустороннего максвеллиана. Приближенный моментный метод решения кинетического уравнения Больцмана позволяет получить аналитические выражения для расчета макропараметров, применимые при любой степени неравновесности процессов и при сколь угодно малых значениях числа Кнудсена. Задача о теплопереносе через газ, находящийся между двумя коаксиальными цилиндрическими поверхностями, непроницаемыми для потока массы, рассматривалась в [6], однако применительно к пленочному кипению в случае цилиндрической геометрии кинетическое уравнение Больцмана еще не решалось моментным методом.

**Постановка задачи.** Цилиндрический нагреватель радиусом  $r_w$  помещается внутрь коаксиальной пористой оболочки с фиксированными структурными характеристиками (внутренним радиусом  $r_0$ , толщиной цилиндрической стенки  $H$ , проницаемостью  $k$ ), внутреннее пространство которой заполняется сверхтекучим гелием He-II (рис. 1). При подаче заданной тепловой нагрузки  $q_w$  на поверхности нагревателя образуется паровая пленка конечной толщины (радиусом  $r_i$ ). В дальнейшем паровой объем увеличивается, заполняя внутреннее пространство пористой трубки. Принимается, что на внешней поверхности пористого тела имеется пленка жидкости, так как He-II обладает хорошей смачиваемостью. Давление пара вблизи межфазной поверхности во внешнем объеме  $P_{bs}$  соответству-

ет температуре  $T_{bs}$  этой пленки на линии насыщения:  $P_{bs} = P_s(T_{bs})$ . Жидкость считается несжимаемой, зависимость теплофизических свойств от температуры не учитывается, задача является одномерной и стационарной. В силу принятых условий невесомости пленка является симметричной.

**Математическая модель.** Из молекулярно-кинетического описания процесса испарения-конденсации [4] следует, что между давлением пара вблизи межфазной поверхности  $P''$  и поступающим на эту границу удельным тепловым потоком  $q_i$  имеется соотношение, справедливое для тонкой по сравнению с диаметром нагревателя пленки пара (которую можно считать плоской):

$$q_i = \frac{4}{\sqrt{\pi}} (P'' - P_s(T_i)) \sqrt{2RT_i}. \quad (1)$$

Здесь  $P_s(T_i)$  — давление, соответствующее температуре  $T_i$  на линии насыщения;  $R$  — газовая постоянная;  $T_i$  — температура межфазной поверхности жидкость — пар. Формула (1) справедлива при равенстве нулю потока массы через границу раздела фаз, что и наблюдается при стационарном пленочном кипении.

В стационарных условиях при механическом равновесии давление пара внутри пленки  $P''$  должно быть равно сумме давления  $P_{bs}$  и перепада давления  $\Delta P$  в пористой цилиндрической оболочке, заменяющего гидростатическую разность давлений. Эта величина определяется размерами и структурными характеристиками материала пористой оболочки. Соответственно справедливо выражение  $P'' = P_s(T_{bs}) + \Delta P$ . Подставляя давление  $P''$ , заданное этим соотношением, в формулу (1), получаем

$$q_i = \frac{4}{\sqrt{\pi}} (P_s(T_{bs}) - P_s(T_i) + \Delta P) \sqrt{2RT_i}. \quad (2)$$

При  $(T_i - T_{bs})/T_{av} \ll 1$  (что справедливо для He-II) из уравнения Клапейрона — Клаузиуса определяется разность давлений насыщения, выраженная через разность температур межфазных поверхностей:

$$P_s(T_{bs}) - P_s(T_i) \approx \frac{\rho'' \rho'}{\rho' - \rho''} \frac{\Lambda(T_{bs} - T_i)}{T_{av}}. \quad (3)$$

Здесь  $\rho'$ ,  $\rho''$  — плотности жидкости и пара соответственно;  $\Lambda$  — удельная теплота парообразования;  $T_{av} = (T_i + T_{bs})/2$  — средняя температура жидкого гелия. Очевидно, что разность температур может быть представлена в виде  $T_i - T_{bs} = (T_i - T_0) + (T_0 - T_{bs})$ . Подставляя это выражение в (3), а полученную разность давлений  $P_s(T_{bs}) - P_s(T_i)$  — в формулу (2), получаем следующее уравнение:

$$q_i = \frac{4}{\sqrt{\pi}} \left( \Delta P - \frac{\rho'' \rho'}{\rho' - \rho''} \frac{\Lambda[(T_i - T_0) + (T_0 - T_{bs})]}{T_{av}} \right) \sqrt{2RT_i}. \quad (4)$$

Стационарный перенос тепла по неподвижному слою He-II описывается формулой Гортера — Меллинка  $\text{grad } T = -f_{GM}(T)q^3$  [7, 8]. Теплота, поступающая через межфазную границу, разделяющую пленку пара и слой He-II, распространяется далее по жидкости (в слое He-II). При этом в стационарном режиме теплопереноса в силу закона сохранения энергии должно выполняться соотношение

$$q(r) = q_w r_w / r, \quad (5)$$

где  $r$  — текущий радиус;  $q$  — плотность теплового потока на расстоянии  $r$  от оси цилиндрического нагревателя. В случае одномерной постановки соотношение (5) для плотности

теплового потока  $q$  подставляется в формулу Гортера — Меллинка. В результате интегрирования уравнения после разделения переменных определяется разность температур межфазных поверхностей

$$T_i - T_0 = \frac{1}{4} \langle f_{GM} \rangle q_w^3 d_w \left( \left( \frac{r_w}{r_i} \right)^2 - \left( \frac{r_w}{r_0} \right)^2 \right), \quad (6)$$

где

$$\langle f_{GM} \rangle = (T_i - T_0) \left( \int_{T_0}^{T_i} \frac{dT}{f_{GM}(T)} \right)^{-1} -$$

среднее значение функции Гортера — Меллинка в интервале температур от  $T_0$  до  $T_i$ ;  $T_0$  — температура внутренней поверхности оболочки;  $r_i$  — радиус паровой пленки;  $r_0$  — внутренний радиус цилиндрической пористой оболочки;  $d_w$  — диаметр цилиндрического нагревателя.

Гидравлическое сопротивление пористой оболочки выражается законом Дарси, который в рассматриваемом случае записывается только для нормального компонента He-II, поскольку лишь он обладает вязкостью. В случае ламинарного режима течения имеет место соотношение

$$\eta_n \mathbf{V}_{nf} = -k \cdot \text{grad } P, \quad (7)$$

где  $k$  — проницаемость;  $\eta_n$  — динамическая вязкость нормального компонента;  $\mathbf{V}_{nf}$  — скорость фильтрации нормального компонента, равная отношению объемного расхода этого компонента к общей площади поперечного сечения (а не к площади сечения, занимаемой порами). При этом рассматривается теплоперенос только в сверхтекучем гелии, теплоперенос в матрице и теплообмен между матрицей и He-II не учитываются.

Градиент давления в пористой структуре при стационарном теплопереносе связан с градиентом температуры в He-II соотношением, следующим из уравнений двухскоростной гидродинамики:

$$\text{grad } P = \rho' S \cdot \text{grad } T \quad (8)$$

( $S$  — энтропия сверхтекучего гелия).

Поскольку рассматривается стационарная задача и размеры паровой пленки не увеличиваются, жидкий гелий в порах оболочки неподвижен. В этом случае выражение для плотности теплового потока в сверхтекучем гелии, заполняющем поры, имеет вид

$$\mathbf{q} = \rho' S T_{av} \mathbf{V}_n, \quad (9)$$

где  $\mathbf{V}_n$  — средняя скорость течения нормального компонента в порах, связанная со скоростью фильтрации соотношением  $V_n = V_{nf}/\varepsilon_S$ , где  $\varepsilon_S$  — поверхностная пористость оболочки. В предложенной модели пористая оболочка считается изотропным телом, следовательно, объемная и поверхностная пористости равны:  $\varepsilon_V = \varepsilon_S = \varepsilon$ . Заменяя в (9)  $V_n$  на  $V_{nf}/\varepsilon$  и подставляя выражение (8) для  $\text{grad } P$  в (7), получаем выражение для  $V_{nf}$ . Подставляя это выражение в (9) и переходя к скалярной форме записи, находим

$$q_0(r) = - \frac{(\rho' S)^2 T_{av} k}{\varepsilon \eta_n} \frac{dT}{dr}, \quad (10)$$

где  $q_0(r)$  — среднее значение плотности теплового потока в порах. Учитывая соотношение (5) и тот факт, что средняя плотность теплового потока через общую площадь поперечного сечения равна  $\varepsilon q_0(r)$ , можно записать

$$q_w \frac{r_w}{r} = - \frac{(\rho' S)^2 T_{av} k}{\eta_n} \frac{dT}{dr}. \quad (11)$$

Интегрируя это уравнение, получаем выражение для перепада температуры по толщине пористой оболочки

$$T_b - T_0 = -\frac{\eta_n q_w d_w}{2(\rho' S)^2 T_{av} k} \ln \left( 1 + \frac{H}{r_0} \right). \quad (12)$$

Из уравнения (8) следует, что перепад давления  $\Delta P = P_0 - P_b$  в пористой оболочке равен

$$\Delta P = \rho' S (T_0 - T_{bs}), \quad (13)$$

а из соотношения (5) следует, что плотность теплового потока  $q_i$ , поступающего на межфазную поверхность, равна  $q_i = q_w r_w / r_i$ . Подставляя в (4) выражения для  $q_i$  и  $\Delta P$  (см. (13)), а также выражения для перепадов температур  $T_i - T_0$  и  $T_b - T_0$ , получаем соотношения, связывающие структурные характеристики и размеры пористой оболочки и нагревателя с толщиной тонкой паровой пленки:

$$\frac{k}{d_w \ln(1 + H/r_0)} = \frac{2(1-a)\eta_n \sqrt{2RT_i/\pi} / (\rho' S T_{av})}{y + a\rho' S \langle f_{GM} \rangle q_w^2 d_w \sqrt{2RT_i/\pi} (y^2 - (r_w/r_0)^2)}, \quad (14)$$

где

$$y = \frac{d_w}{2r_i}, \quad a = \frac{\rho''}{\rho' - \rho''} \frac{\Lambda}{S T_{av}}. \quad (15)$$

Выполняя расчеты по формуле (14), можно принять  $T_i \approx T_{av} \approx T_{bs}$ , поскольку перепад температуры очень мал (не более  $10^{-3}$  К). Если не учитывать перепад температуры в слое He-II, находящемся во внутренней полости оболочки (который существенно меньше перепада по толщине пористой структуры, т. е.  $T_i \approx T_0$ ), то формулу (14) можно упростить:

$$\frac{k}{d_w \ln(1 + H/r_0)} = \frac{2(1-a)\eta_n \sqrt{2RT_i/\pi}}{\rho' S T_{av}} \left( 1 + \frac{\delta}{r_w} \right). \quad (16)$$

Здесь  $\delta = r_i - d_w/2$  — толщина паровой пленки. Таким образом, если перепад температуры во внутренней полости оболочки пренебрежимо мал, то структурные характеристики пористого тела влияют на толщину паровой пленки более существенно, чем величина теплового потока.

**Теплоперенос в паровой пленке.** Для определения теплового потока от нагревателя к межфазной поверхности  $q_i$  необходимо рассмотреть вспомогательную задачу о стационарном теплопереносе в двухфазной системе с проницаемой границей раздела фаз в следующей постановке (рис. 2). Цилиндрический нагреватель диаметром  $d_w$  погружен в жидкость. Длина нагревателя во много раз превышает его диаметр. Температура нагревателя  $T_w$  такова, что от жидкости его отделяет пленка пара с температурой межфазной поверхности  $T_i$ . Внутренний радиус пленки равен  $r_w = d_w/2$ , внешний радиус —  $r_i$ .

Согласно [9] для стационарной осесимметричной задачи кинетическое уравнение Больцмана в цилиндрических координатах имеет вид

$$\xi_r \frac{\partial f}{\partial r} + \frac{\xi_\theta^2}{r} \frac{\partial f}{\partial \xi_r} - \frac{\xi_r \xi_\theta}{r} \frac{\partial f}{\partial \xi_\theta} = J, \quad (17)$$

где  $f$  — функция распределения молекул по скоростям;  $\xi_r$ ,  $\xi_\theta$  — радиальная и тангенциальная проекции скорости соответственно;  $r$  — расстояние от оси нагревателя;  $J$  — интеграл столкновений. Умножая обе части уравнения (17) на произвольные функции скоростей  $\varphi(\xi_r, \xi_\theta, \xi_z)$  и записывая его в дивергентной форме [9], получаем

$$\frac{1}{r} \frac{\partial}{\partial r} (r \xi_r \varphi f) - \frac{f}{r} \left( \xi_\theta^2 \frac{\partial \varphi}{\partial \xi_r} - \xi_r \xi_\theta \frac{\partial \varphi}{\partial \xi_\theta} \right) = \varphi J. \quad (18)$$

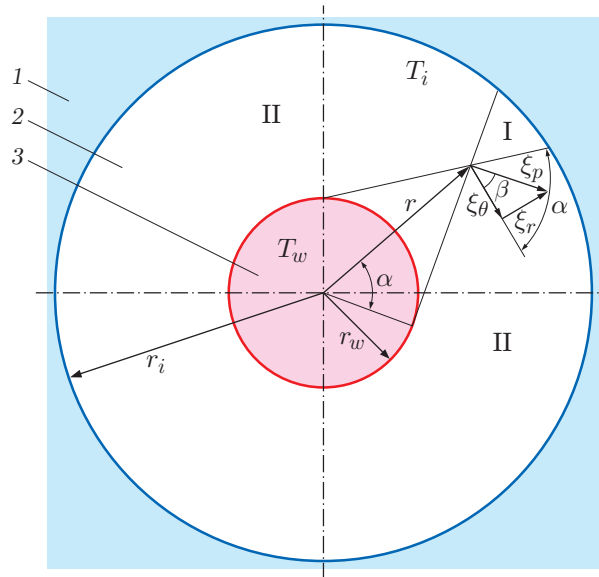


Рис. 2. Физическая модель процесса теплопереноса при пленочном кипении на цилиндрической нагревающей поверхности:

1 — жидкость, 2 — паровая пленка, 3 — нагреватель; I — “клин влияния”, II — область вне “клина влияния”

Подставляя в (18) конкретные функции скоростей  $\varphi(\xi_r, \xi_\theta, \xi_z)$  и интегрируя левую и правую части полученных уравнений по пространству скоростей, получаем систему моментных уравнений.

При решении кинетического уравнения Больцмана, записанного в цилиндрических координатах, функция распределения принимается в следующем виде [6] (см. рис. 2):

$$f = f_1 + f_2;$$

$$f_1 = \frac{n_1}{(2\pi RT_1)^{3/2}} \exp\left(-\frac{\xi_p^2 + \xi_z^2}{2RT_1}\right), \quad \alpha < \beta < \pi - \alpha; \quad (19)$$

$$f_2 = \frac{n_2}{(2\pi RT_2)^{3/2}} \exp\left(-\frac{\xi_p^2 + \xi_z^2}{2RT_2}\right), \quad \pi - \alpha < \beta < 2\pi + \alpha. \quad (20)$$

Здесь  $\xi_p = \sqrt{\xi_r^2 + \xi_\theta^2}$ ;  $\beta = \arctg(\xi_r/\xi_\theta)$ ;  $\alpha$  — угол, определяемый по формуле

$$\alpha = \arccos(r_w/r). \quad (21)$$

Функция  $f_1$  справедлива для молекул, проекция скорости  $\xi_p$  которых находится в области I (“клин влияния”), а функция  $f_2$  — для молекул, проекция  $\xi_p$  которых расположена в области II (см. рис. 2). В рассматриваемом случае связь проекций скоростей в прежних и новых координатах задается формулами

$$\xi_z = \xi_z, \quad \xi_\theta = \xi_p \cos \beta, \quad \xi_r = \xi_p \sin \beta. \quad (22)$$

В новых координатах дифференциал в пространстве скоростей имеет вид

$$d\xi = \xi_p d\xi_p d\xi_z d\beta, \quad (23)$$

где  $\xi_p$  — модуль якобиана преобразования системы координат.

**Система моментных уравнений.** Уравнение (18) решается в четырехмоментном приближении. В качестве первых трех функций скоростей  $\varphi(\xi_r, \xi_\theta, \xi_z)$  выбираются инварианты столкновений, так как в этом случае моменты интеграла столкновений равны нулю. Выбираются следующие инварианты столкновений:  $m$  (масса молекулы),  $m\xi_r$ ,  $m\xi^2/2$  ( $\xi$  — вектор скорости).

При  $\varphi_1 = m$  производные  $\partial\varphi/\partial\xi_r$  и  $\partial\varphi/\partial\xi_\theta$  равны нулю и уравнение (18) с учетом (22), (23) принимает вид

$$\frac{1}{r} \frac{\partial}{\partial r} \left( r \int_0^{2\pi} \int_{-\infty}^{+\infty} \int_0^{+\infty} (f_1 + f_2) \xi_p^2 \sin \beta d\xi_p d\xi_z d\beta \right) = 0. \quad (24)$$

Подставляя функции  $f_1$ ,  $f_2$ , заданные выражениями (19), (20), и интегрируя уравнение (24), с учетом соотношения  $r \cos \alpha = r_w$ , справедливого в силу (21), получаем

$$n_1 \sqrt{\frac{RT_1}{2\pi}} - n_2 \sqrt{\frac{RT_2}{2\pi}} = \frac{G}{r_w}. \quad (25)$$

Константа  $G$  в уравнении (25) равна или, по крайней мере, прямо пропорциональна произведению плотности потока массы и радиуса  $r$ . Поскольку рассматривается стационарный процесс, поток массы на межфазной поверхности в данном случае равен нулю. Из решения кинетического уравнения Больцмана для нестационарных задач тепломассопереноса в случае проницаемой межфазной границы [10] следует, что стационарное состояние, характеризующееся отсутствием потока массы через эту границу, достигается за время кинетической релаксации порядка времени между столкновениями молекул пара. Поэтому первое уравнение системы принимает вид

$$n_1 \sqrt{T_1} - n_2 \sqrt{T_2} = 0. \quad (26)$$

Так как проекции скорости связаны соотношениями (22), то, подставляя в уравнение (18) функцию  $\varphi_2 = m\xi_r$  (второй инвариант столкновений), находим

$$\frac{1}{r} \frac{d}{dr} \left( r \int_{-\infty}^{+\infty} \xi_p^2 f \sin^2 \beta d\xi \right) - \frac{1}{r} \int_{-\infty}^{+\infty} \xi_p^2 f \cos^2 \beta d\xi = 0. \quad (27)$$

Интегрируя (27), получаем

$$\begin{aligned} \frac{d}{dr} [rn_1 T_1 (\pi - 2\alpha + \sin 2\alpha)] + \frac{d}{dr} [rn_2 T_2 (\pi + 2\alpha - \sin 2\alpha)] = \\ = n_1 T_1 (\pi - 2\alpha - \sin 2\alpha) + n_2 T_2 (\pi + 2\alpha + \sin 2\alpha). \end{aligned} \quad (28)$$

Вычислив производную от левой части уравнения (28) и выполнив преобразование с учетом соотношения (21), можно сформулировать второе моментное уравнение:

$$(\sin 2\alpha - 2\alpha) \frac{d}{dr} (n_1 T_1 - n_2 T_2) + \pi \frac{d}{dr} (n_1 T_1 + n_2 T_2) = 0. \quad (29)$$

Подставляя в уравнение (18) функцию  $\varphi_3 = m\xi^2/2 = m(\xi_r^2 + \xi_\theta^2 + \xi_z^2)/2$ , являющуюся третьим из выбранных инвариантов столкновения, вычисляя интегралы и выполняя ряд преобразований, при которых используется соотношение (21), выводим третье моментное уравнение:

$$mR \sqrt{\frac{2R}{\pi}} (n_1 T_1 \sqrt{T_1} - n_2 T_2 \sqrt{T_2}) \frac{r_w}{r} = q. \quad (30)$$

Четвертое уравнение получается в результате подстановки в (18) функции  $\varphi_4 = m\xi_r \xi^2/2 = m\xi_r(\xi_r^2 + \xi_\theta^2 + \xi_z^2)/2$ , не являющейся инвариантом столкновения. Интеграл столкновений вычисляется для молекул, взаимодействующих в соответствии с моделью Максвелла:  $F = K_1/r^5$ . Уравнение (18) при таком потенциале взаимодействия молекул и  $\varphi_4 = m\xi_r \xi^2/2$  было проинтегрировано в работе [6]. В результате интегрирования уравнение (18) принимает вид

$$\begin{aligned} \frac{d}{dr} (n_1 T_1^2 - n_2 T_2^2) + \pi \frac{d}{dr} (n_1 T_1^2 + n_2 T_2^2) = \\ = -\frac{4}{5} \frac{A_2}{\sqrt{\pi R}} \sqrt{\frac{K_1}{m}} (n_1 T_1^{3/2} - n_2 T_2^{3/2}) (n_1 (\pi - 2\alpha) + n_2 (\pi + 2\alpha)) \cos \alpha, \end{aligned} \quad (31)$$

где  $A_2 = 1,3682$  — константа интегрирования для максвелловских молекул. В работе [6] в качестве результата интегрирования уравнения (18) приведено безразмерное моментное уравнение. Таким образом, получена полная система моментных уравнений (26), (29)–(31), граничные условия которой имеют вид

$$r = r_w: \quad T_1(r_w) = T_w, \quad r = r_i: \quad T_2(r_i) = T_i, \quad n_2(r_i) = n_s(r_i). \quad (32)$$

**Линейное приближение.** Система моментных уравнений приводится к безразмерному виду, вводятся следующие безразмерные переменные:  $n_1^* = n_1/n_b$ ,  $n_2^* = n_2/n_b$ ,  $T_1^* = T_1/T_b$ ,  $T_2^* = T_2/T_b$ ,  $r^* = r/r_w$ . Затем проводится линеаризация системы безразмерных моментных уравнений. Безразмерные переменные представляются следующим образом:  $n_1^* = 1 + N_1$ ,  $n_2^* = 1 + N_2$ ,  $T_1^* = 1 + t_1$ ,  $T_2^* = 1 + t_2$ . В результате преобразований линеаризованная система моментных уравнений имеет следующий вид:

$$\begin{aligned} N_1 - N_2 = -\gamma/2, \quad t_1 + t_2 + N_1 + N_2 = \text{const}, \quad t_1 - t_2 = \gamma; \\ \frac{dt_1}{d\bar{r}} = -\frac{4}{15 \text{Kn}_b} \frac{\gamma}{\bar{r}}. \end{aligned} \quad (33)$$

Здесь  $\text{Kn}_b = 2\langle l_b \rangle/d_w$  — число Кнудсена;  $\langle l_b \rangle = \sqrt{\pi RT_b}/(3A_2 n_b \sqrt{K_1/m})$  — длина свободного пробега максвелловских молекул при температуре, равной характерной температуре;  $\gamma$  — безразмерный тепловой поток:

$$\gamma = \frac{q}{mn_b RT_b \sqrt{2RT_b/\pi}} \frac{r}{r_w}.$$

Поскольку рассматривается линейное приближение, очевидно, что  $\gamma \ll 1$ .

Граничные условия для линеаризованной системы имеют вид

$$t_1(1) = T_w/T_b - 1, \quad t_2(r_i/r_w) = T_i/T_b - 1, \quad N_2(r_i/r_w) = n_s(T_i)/n_b - 1. \quad (34)$$

Целесообразно принять следующие характерные значения температуры и концентрации молекул пара:  $T_b = T_i$ ,  $n_b = n_s(T_i)$ .

Интегрируя уравнение (33) с граничными условиями (34), находим выражение

$$\frac{T_1(r_i)}{T_i} - 1 = \frac{T_w/T_i - 1}{1 + (4/(15 \text{Kn}_b)) \ln(r_i/r_w)}. \quad (35)$$

Из уравнений (26), (30), (35), граничных условий (32) и равенства  $\rho = mn$  при условии, что пар является идеальным газом ( $P_s(T_i) = \rho_s(T_i)RT_i$ ), для определения плотности теплового потока  $q$  при произвольном радиусе  $r$  получаем следующую формулу:

$$q = P_s(T_i) \sqrt{\frac{2}{\pi}} RT_i \frac{d_w}{2r} \frac{T_w/T_i - 1}{1 + (4/(15 \text{Kn}_b)) \ln(2r_i/d_w)}. \quad (36)$$

В приближении сплошной среды, т. е. при  $Kn \rightarrow 0$ , формула (36) преобразуется в соотношение вида

$$q = \frac{15}{4} P_s(T_i) \sqrt{\frac{2}{\pi} RT_i} \frac{\langle l_b \rangle}{T_i} \frac{T_w - T_i}{r \ln(2r_i/d_w)}.$$

Полученное выражение имеет вид формулы для плотности теплового потока в цилиндрическом слое в приближении сплошной среды, при этом среднее значение теплопроводности пара в пленке в интервале температур от  $T_i$  до  $T_w$  равно

$$\lambda = \frac{15}{4} \frac{P_s(T_i)}{T_i} \langle l_b \rangle \sqrt{\frac{2RT_i}{\pi}}.$$

В свободномолекулярном пределе, т. е. при  $Kn \rightarrow \infty$ , формула (36) переходит в следующее соотношение, описывающее теплоперенос при сильной разреженности пара:

$$q = P_s(T_i) \sqrt{\frac{2RT_i}{\pi}} \left( \frac{T_w}{T_i} - 1 \right) \frac{d_w}{2r}.$$

Используя формулу (36) для описания теплопереноса в паре при пленочном кипении Не-II внутри пористого тела в условиях невесомости, после ряда преобразований, аналогичных описанным выше, вместо соотношения (16) получаем

$$\frac{k}{d_w \ln(1 + H/r_0)} = \frac{(T_w/T_i - 1)(a\eta_n/(2\rho'ST_b))\sqrt{2RT_{bs}/\pi}}{(1 + (4/(15Kn_i)) \ln(1 + \delta/r_w))(1 - P_s(T_{bs})/P_s(T_i))} \quad (37)$$

( $T_i \approx T_{av} \approx T_{bs}$ ). Формула (37), не содержащая  $q_w$  в явном виде, может быть преобразована к более удобному для расчетов виду

$$\frac{k}{d_w \ln(1 + H/r_0)} = \frac{a\eta_n}{2(P_s(T_i) - P_s(T_{bs}))} \frac{q_w}{\rho'ST_{bs}}. \quad (38)$$

**Результаты расчетов.** На рис. 3 показаны рассчитанные с помощью формулы (16) зависимости структурно-геометрического параметра  $k/(d_w \ln(1 + H/r_0))$  от температуры  $T_{bs}$  при различных значениях отношения толщины паровой пленки  $\delta$  к радиусу нагревателя  $r_w$ . Видно, что с уменьшением температуры структурно-геометрический параметр

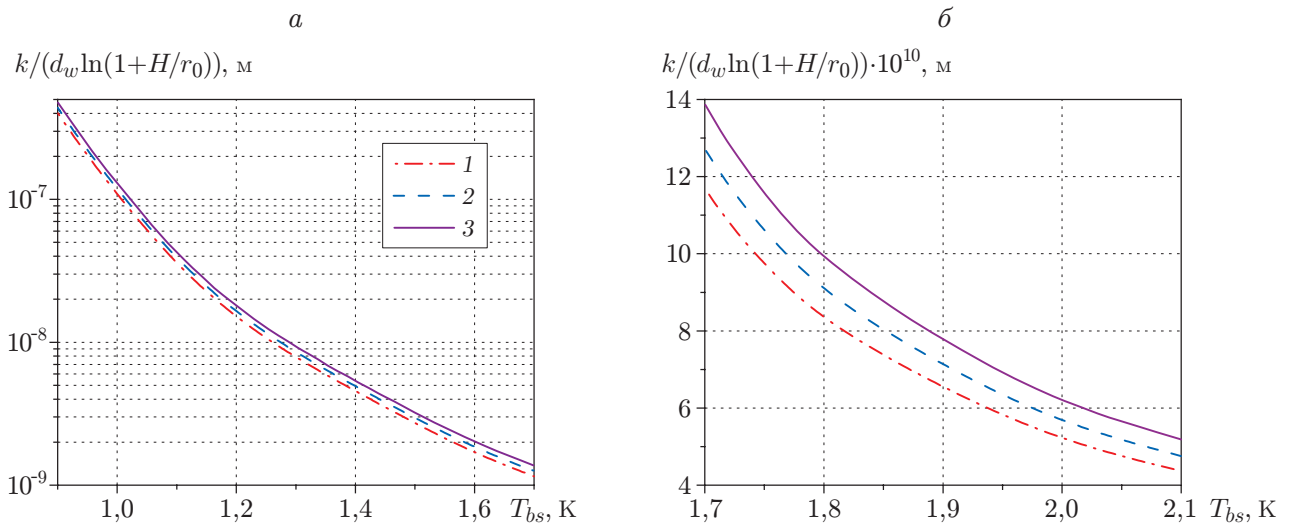


Рис. 3. Зависимость структурно-геометрического параметра от температуры при различных значениях отношения толщины паровой пленки к радиусу нагревателя:  $a - T_{bs} = 0,9 \div 1,7$  К,  $b - T_{bs} = 1,7 \div 2,1$  К; 1 —  $\delta/r_w = 0,01$ , 2 —  $\delta/r_w = 0,1$ , 3 —  $\delta/r_w = 0,2$

Расчетные характеристики тканых металлических сеток  
российского производства

Марка сетки	Размер сетки	$d_g$ , мкм	$m_p$	$A$	$d_*$	$K$	$k \cdot 10^{10}$ , м <sup>2</sup>
С100	10 × 118	180	0,402	2,30	1,14	5,21	0,763
С200	20 × 157	140	0,298	2,65	0,54	5,09	0,145
П160	16 × 83	140	0,589	1,52	0,75	5,34	3,246

монотонно увеличивается: при  $T_{bs} = 2,1$  К этот параметр имеет порядок  $10^{-10}$  м, а при температуре 1 К —  $10^{-7}$  м. Таким образом, если увеличение толщины паровой пленки нежелательно, то при высокой проницаемости пористой структуры необходимо поддерживать низкую температуру. Увеличение проницаемости пористой оболочки приводит к уменьшению гидравлического сопротивления и, следовательно, к увеличению скорости нормального компонента. Вследствие этого должен увеличиваться удельный тепловой поток  $q$  (см. формулу (9)), но, поскольку согласно постановке задачи тепловая нагрузка является постоянной, величина  $q$  зависит только от радиуса  $r$  и с уменьшением температуры не должна изменяться. Действительно,  $q$  остается постоянной, так как при понижении температуры уменьшаются энтропия He-II и (в соответствии с (8)) градиент давления. Кроме того, при  $T_{bs} < 1,75$  К вязкость нормального компонента увеличивается, что компенсирует увеличение проницаемости (в соответствии с (7)), поэтому величина  $V_n$  возрастает незначительно и как следствие  $\rho' ST_{av} V_n$  в (9) не увеличивается.

С использованием полученных результатов проводится расчет толщины пористой оболочки с фиксированными структурными характеристиками. Пусть пористая структура выполнена из тканой металлической сетки. Проницаемость пористой структуры, изготовленной из тканой металлической сетки, определяется по формуле

$$k = \frac{1}{K} \frac{m_p^3 d_g^2}{A^2},$$

где  $K$  — безразмерная постоянная Козени — Кармана;  $A$  — безразмерная удельная площадь поверхности;  $m_p$  — пористость;  $d_g$  — диаметр уточной нити. Результаты расчета проницаемости для сеток трех типов приведены в таблице ( $d_*$  — безразмерный гидравлический диаметр, т. е. отношение гидравлического диаметра к диаметру уточной нити  $d_g$ ).

Введем следующее обозначение:

$$\frac{k}{d_w \ln(1 + H/r_0)} \equiv x.$$

Тогда отношение толщины оболочки к внутреннему радиусу имеет вид

$$\frac{H}{r_0} = \exp\left(\frac{k}{x d_w}\right) - 1.$$

В случае тонкой паровой пленки (которую можно считать плоской) на поверхности цилиндрического нагревателя величина  $x$  определяется по формуле (16):

$$x = \frac{2(1-a)\eta_n \sqrt{2RT_i/\pi}}{\rho' ST_{av}} \left(1 + \frac{\delta}{r_w}\right).$$

Для отношения толщины оболочки к ее внешнему радиусу  $r_{out} = r_0 + H$  справедлива формула

$$\frac{H}{r_{out}} = 1 - \exp\left(-\frac{k}{x d_w}\right). \quad (39)$$

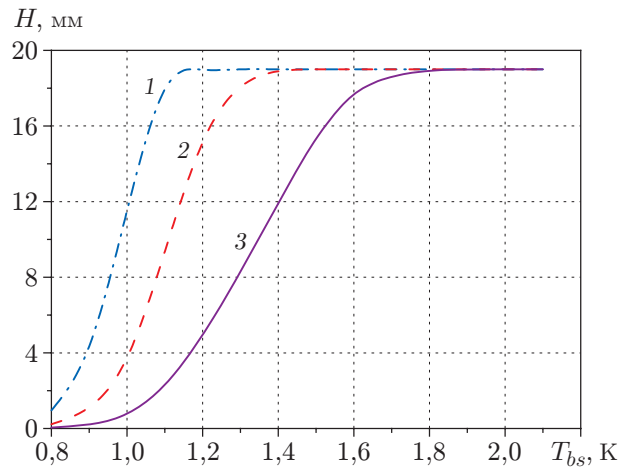


Рис. 4. Зависимость толщины пористой оболочки от температуры сверхтекучего гелия:

1 — сетка П160 ( $16 \times 83$ ), 2 — сетка С100 ( $10 \times 118$ ), 3 — сетка С200 ( $20 \times 157$ )

Таким образом, можно определить толщину пористой оболочки (толщину намотки слоев тканой металлической сетки) при различных значениях температуры сверхтекучего гелия и заданных диаметре нагревателя и толщине паровой пленки.

Пусть внешний радиус пористой оболочки равен 19 мм (такой же размер имела экспериментальная ячейка, описанная в работе [2]). Рассчитанные по формуле (39) зависимости толщины оболочки от температуры сверхтекучего гелия  $T_{bs}$  для пористых структур с внешним радиусом, равным 19 мм, представлены на рис. 4. Видно, что для поддержания постоянной толщины паровой пленки при более высоких температурах сверхтекучего гелия необходимо использовать пористую оболочку большей толщины. В области низких температур ( $T < 1,1$  К) постоянная толщина пленки пара, равная  $\delta = 0,1r_w$ , может поддерживаться при толщине оболочки  $H \leq 2$  мм, и наоборот, при определенной температуре необходимо использовать оболочку, толщина которой равна ее внешнему радиусу, т. е. в этом случае цилиндрическая полость внутри оболочки должна отсутствовать, что не соответствует постановке задачи. На рис. 4 видно, что при заданной температуре гелия среди трех рассмотренных металлических сеток наименьшую толщину оболочки обеспечивает сетка типа С200 ( $20 \times 157$ ).

**Заключение.** В данной работе в линейном приближении путем решения кинетического уравнения Больцмана моментным методом выведена формула для расчета плотности теплового потока при пленочном кипении на цилиндрическом нагревателе. Это аналитическое выражение, применимое в инженерных расчетах, справедливо при любых (в том числе сколь угодно малых) значениях числа Кнудсена.

Получено соотношение, связывающее в явном виде толщину паровой пленки при стационарном кипении He-II на цилиндрической нагревающей поверхности со структурными характеристиками и размерами цилиндрической пористой оболочки и находящегося внутри нее нагревателя. Данное соотношение позволяет рассчитать необходимую для получения требуемой толщины паровой пленки проницаемость пористой структуры с известными размерами (или размеры пористого тела при заданной проницаемости). Представлены соответствующие графики. Полученные результаты могут быть использованы при проектировании экспериментальной ячейки для исследования кипения He-II в условиях микрогравитации.

## ЛИТЕРАТУРА

1. **Крюков А. П., Пузина Ю. Ю.** Обоснование экспериментальных исследований процессов теплопереноса при кипении сверхтекучего гелия в условиях микрогравитации на международной космической станции // *Вопр. электромеханики: Тр. Всерос. науч.-исслед. ин-та электромеханики*. 2009. Т. 112, № 5. С. 45–53.
2. **Королев П. В., Крюков А. П., Пузина Ю. Ю.** Конструкция экспериментальной ячейки для исследования кипения гелия-II в условиях невесомости // *Вопр. электромеханики: Тр. Всерос. науч.-исслед. ин-та электромеханики*. 2012. Т. 130, № 5. С. 43–50.
3. **Крюков А. П., Пузина Ю. Ю.** Подавление колебаний границы раздела фаз пар — жидкость при кипении сверхтекучего гелия внутри пористого тела // *Инж.-физ. журн.* 2013. Т. 86, № 1. С. 24–30.
4. **Муратова Т. М., Лабунцов Д. А.** Кинетический анализ процессов испарения и конденсации // *Теплофизика высоких температур*. 1969. Т. 7, № 5. С. 959–976.
5. **Khurtin P. V., Kryukov A. P.** Some models of heat transfer at film boiling of superfluid helium near  $\lambda$ -point in microgravity // *J. Low Temperature Phys.* 2000. V. 119, N 3/4. P. 413–420.
6. **Lester Lees, Chung-Yen Liu.** Kinetic-theory description of conductive heat transfer from a fine wire // *Phys. Fluids*. 1962. V. 5, N 10. P. 1137–1148.
7. **Gorter C. J., Mellink J. H.** On the irreversible processes in liquid helium II // *Physica*. 1949. V. 5, N 15. P. 285–304.
8. **Van Sciver S. W.** Helium cryogenics. N. Y.: Springer, 2012.
9. **Коган М. Н.** Динамика разреженного газа. М.: Наука, 1967.
10. **Ястребов А. К., Крюков А. П.** Теплоперенос через пленку пара с учетом движения межфазной поверхности жидкость — пар и роста температуры границы раздела фаз // *Теплофизика высоких температур*. 2006. Т. 44, № 4. С. 560–567.

*Поступила в редакцию 21/VII 2014 г.*

---